

## ЛИТЕРАТУРА

1. Фракталы в физике // Тр. VI Междунар. симпоз. по фракталам в физике/Под ред. Л. Пьетронеро, Э. Тозатти.— М.: Мир, 1988.
2. Procaccia I. Fractal structures in turbulence // J. Statist. Phys.— 1984.— V. 36, N 5—6.
3. Бершадский А. Г. Фрактальная структура турбулентных вихрей // ЖЭТФ.— 1989.— Т. 96, вып. 2.
4. Levich E., Tsinober A. On dynamical fractal models of homogeneous turbulence // Phys. Lett.— 1984.— V. A101, N 5—6.
5. Бершадский А. Г. О затухании турбулентности во вращающейся жидкости // Изв. АН СССР. Физика атмосферы и океана.— 1988.— Т. 24, № 4.
6. Townsend A. A. The mechanism of entrainment in free turbulent flows // J. Fluid Mech.— 1966.— V. 26, N 4.
7. Ландау Л. Д., Либниц Е. М. Гидродинамика.— М.: Наука, 1988.
8. Монин А. С., Яглом А. М. Статистическая гидромеханика.— М.: Наука, 1967.— Т. 2.
9. Рис Ф., Вальдфогель А. Анализ фрактальной размерности облаков с мощными конвективными токами // Фракталы в физике.— М.: Мир, 1988.
10. Мирабель А. П., Монин А. С. Двумерная турбулентность // Успехи механики.— 1979.— Т. 2, № 3.
11. Kida S. Numerical simulation of two-dimensional turbulence with high-symmetry // J. Phys. Soc. Jap.— 1985.— V. 54, N 8.
12. Osborne A. R., Kirwan A. D., Provenzale A., Bergamasco L. Fractal drifter trajectories in the Kuroshio extention // Tellus.— 1989.— V. 41A.
13. Гледзер Е. Б. О законе 2/3 теории турбулентности и оценке содержащейся в нем постоянной на основе редукции уравнений гидродинамики // ЖЭТФ.— 1986.— Т. 91, вып. 3.
14. Кузнецов В. Р., Прасковский А. А., Сабельников В. А. Локальная структура турбулентности в свободных течениях с сильной перемежаемостью // Изв. АН СССР. МЖГ.— 1988.— № 6.

г. Донецк

Поступила 5/I 1990 г.,  
в окончательном варианте — 3/VIII 1990 г.

УДК 532.55

*M. A. Гольдштик, C. C. Дашин*

## О ГИДРАВЛИЧЕСКОМ СОПРОТИВЛЕНИИ ВИХРЕВЫХ КАМЕР С ГАЗОЖИДКОСТНЫМ СЛОЕМ

Промышленное использование вихревых камер (ВК) сдерживается недостаточной изученностью ряда вопросов, к которым относится определение гидравлического сопротивления  $\Delta P_0$  ВК с газожидкостным слоем. В литературе данный вопрос неоднократно обсуждался. Так, в [1—3] предложены следующие соотношения для ВК с неподвижным корпусом при закрутке газожидкостного слоя газом:

$$(1) \quad \Delta P = 2\Delta P_0 / (\rho'' W'^2) = 1$$

( $\rho''$  — плотность газа,  $W''$  — скорость газа в щелях направляющего аппарата);

$$(2) \quad \Delta P = 0,8;$$

$$(3) \quad \Delta P = 23k$$

( $k = s\eta$ ,  $s$  — относительное проходное сечение,  $\eta = h/r_0$ ,  $h$  и  $r_0$  — высота и радиус направляющего аппарата).

Сопоставления значений гидравлических сопротивлений, рассчитанных по (1)—(3), с экспериментальными данными [1, 2] провести не удается, так как там не указаны геометрические размеры ВК. В то же время эти значения отличаются от экспериментальных данных [3], как правило, в несколько раз.

Применительно к ВК с закруткой газожидкостного слоя газом и вращающимся корпусом в [4] даны соотношения для расчета гидравлического сопротивления газожидкостного слоя:

$$(4) \quad \Delta P_0 = 2\rho' g_+ h_0$$

( $\rho'$  — плотность жидкости,  $g_+ = v_0^2/r_0$  — центробежное ускорение слоя,  $r_0$  — радиус камеры,  $h_0$  — высота исходного слоя,  $v_0$  — скорость вращения слоя);

$$(5) \quad EuFr = 1700$$

( $Eu = \Delta P_0 / (\rho' v_0^2)$ ,  $Fr = v_0^2 / (g_+ h_0)$  — критерии Эйлера и Фруда). Из (5) получаем  $\Delta P_0 = 1700 \rho' g_+ h_0$ , что противоречит (4).

Для ВК с неподвижным корпусом при закрутке газожидкостного слоя газом и жидкостью в [5] предложен метод расчета гидравлического сопротивления, основанный на аналогии между теплообменом и гидродинамическими процессами при непосредственном контакте газа с жидкостью, которой, как указывает автор (см. [5, с. 67]), практически не существует.

Цель данной работы — получение формул, пригодных для расчета гидравлического сопротивления ВК указанных выше конструкций при наличии врачающегося газожидкостного слоя.

Гидравлическое сопротивление ВК с газожидкостным слоем (рис. 1) состоит из сопротивлений: направляющего аппарата; закрученного газожидкостного слоя, расположенного на участке от  $r_0$  до  $r_1$ ; участка от  $r_1$  до отверстия для выхода газа с радиусом  $r_2$ .

Полное гидравлическое сопротивление ВК с газожидкостным слоем определяется формулой

$$(6) \quad \Delta P_0 = \frac{\xi_0'' W''^2}{2} + \int_{r_1}^{r_0} \epsilon \rho' v_0^2 \frac{dr}{r} + \frac{\xi_2 \rho_2'' u''^2}{2}.$$

Здесь  $\xi$  и  $\xi_2$  — коэффициенты гидравлического сопротивления направляющего аппарата и участка от  $r_1$  до отверстия для выхода газа;  $\epsilon$  — удельное содержание жидкости в газожидкостном слое;  $\rho_2''$  и  $u''$  — плотность и тангенциальная скорость газа на радиусе  $r_2$ .

Поскольку для закрученного газожидкостного слоя в ВК выполняется равенство [6]  $v = v_0/W'' = \text{const}$ , то с учетом того, что среднее значение удельного содержания жидкости  $\epsilon = 0,5$  [7], формула (6) интегрируется:

$$(7) \quad \Delta P = \xi - \rho_- v^2 \ln r + \xi_2 \rho_+ u_-^2$$

$$(\rho_- = \rho'/\rho'', r = r_1/r_0, \rho_+ = \rho_2'/\rho'', u_- = u''/W'').$$

Первые две составляющие (7) обычно значительно больше последней. Рассмотрим вначале этот случай

$$(8) \quad \Delta P = \xi - \rho_- v^2 \ln r.$$

В (8) неизвестны  $\xi$  и  $v$ , без которых невозможно определить полное гидравлическое сопротивление.

Для расчета скорости вращения газожидкостного слоя в ВК при закрутке его газом и вращающимся корпусом в [6] предложена формула

$$(9) \quad v = \beta \omega - 0,5 \alpha r + \sqrt{\alpha + 0,25 \alpha^2 r^2 + (1 - \beta r) \alpha \omega - (\gamma - \beta^2) \omega^2},$$

где  $\beta = 0,75(1 - r^4)/(1 - r^3)$ ;  $\omega = \omega_- r_0/W''$ ;  $\omega_-$  — угловая скорость вращения корпуса камеры;  $\alpha = 3\psi\eta/(c_f \epsilon \rho_- (1 - r^3))$ ;  $\psi = s/\sin \theta$ ;  $\theta$  — угол между направлением ввода газа в слой и радиусом ВК, проведенным к месту ввода;  $c_f$  — коэффициент трения слоя о торцы ВК. Для ВК с газожидкостным слоем обычно выполняется неравенство

$$(10) \quad G'' W'' r_0 \gg G'' v_0 r_1$$

( $G''$  — массовый расход газа). С учетом (10) выражение (9) приводится к виду

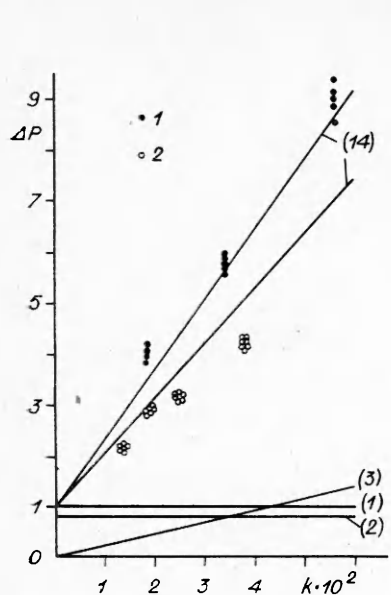
$$(11) \quad v \approx \beta \omega + \sqrt{\alpha + (1 - \beta r) \alpha \omega - (\gamma - \beta^2) \omega^2}.$$

Поскольку при  $0 < r < 1$  выполняется неравенство  $\alpha(1 + (1 - \beta r)\omega) \gg (\gamma - \beta^2)\omega^2$ , формула (11) упрощается:

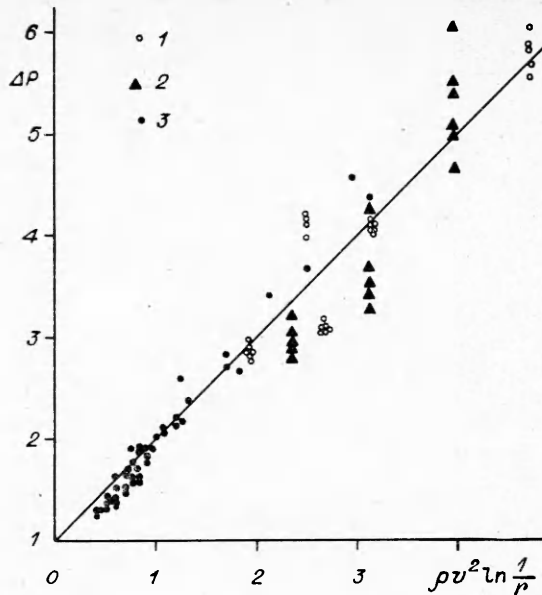
$$(12) \quad v \approx \beta \omega + \sqrt{\alpha + (1 - r\beta) \alpha \omega}.$$

В случае неподвижного корпуса (12) имеет наиболее простой вид

$$(13) \quad v \approx \sqrt{\alpha}.$$



Р и с. 2



Р и с. 3

С использованием (13) и эмпирического равенства [6]  $c_f \epsilon = 0,0125$  при  $\sin \theta \approx 1$  из формулы (8) для водно-воздушного слоя находим

$$(14) \quad \Delta P = \zeta + 240k \ln(1/r)/(1 - r^3).$$

На рис. 2 сопоставляются экспериментальные данные [3] для ВК с  $h = 0,03$  м (точки 1 —  $r = 0,66$ ,  $r_0 = 0,074$  м; 2 —  $r = 0,80$ ,  $r_0 = 0,124$  м) с зависимостями безразмерного гидравлического сопротивления от комплекса  $k$ , рассчитанными по соотношениям (1)–(3) и (14). Каждая из групп плотно лежащих экспериментальных точек является набором величин  $\Delta P$ , полученным в диапазоне изменения  $W''$  от 14 до 94 м/с. Зависимости (1)–(3) сильно отличаются от экспериментальных, в то же время рассчитанные по формуле (14) зависимости при  $\zeta = 1$  согласуются с экспериментальными данными с точностью  $\pm 25\%$ .

Обобщение экспериментальных данных [3, 4] о гидравлических сопротивлениях ВК с неподвижным корпусом (точки 1 — с цилиндрическими направляющими аппаратами и размерами:  $r_0 = 0,074$  м,  $h = 0,03$  м,  $r_1 = 0,049$  м,  $s = 0,0526; 0,0726; 0,1026; 0,1578; 0,042; 0,085$ ; точки 2 — с коническими направляющими аппаратами и размерами:  $r_0 = 0,119$  м,  $r'_0 = 0,11$  м,  $h = 0,038$  м,  $s = 0,0792; 0,1056; 0,1320$ ) и вращающимся корпусом (точки 3 —  $s = 0,045$ ,  $r_0 = 0,1$  м,  $h = 0,037$  м,  $n = 100; 200; 300; 400$  об/мин,  $h_0 = 2,0; 5,3; 8,0; 10,6; 13,5; 16,0; 16,9$  мм,  $W'' = 43,0; 53,8; 64,6; 75,3; 86,1; 96,9$  м/с) приведено на рис. 3.

В связи с тем что в [4] для данных по гидравлическому сопротивлению фиксировалась не толщина газожидкостного слоя  $H$ , а определяемая по объему заливаемой жидкости толщина слоя  $h_0$ , в расчетах по формуле (8) применялось соотношение  $\epsilon \rho' \ln r \approx \epsilon \rho' H / r_0 \approx \rho' h_0 / r_0$ . Как видно из рис. 3, использование  $\zeta = 1$  позволяет с точностью  $\pm 25\%$  провести обобщение имеющихся в литературе экспериментальных результатов по гидравлическим сопротивлениям ВК с газожидкостным слоем. На основе этого можно заключить, что при  $\theta \approx 90^\circ$  коэффициент сопротивления направляющих аппаратов ВК равен единице.

Учесть вклад сопротивления участка от  $r_1$  до отверстия для выхода газа в полное гидравлическое сопротивление удается, если заметить, что для этой цели подходит метод расчета гидравлического сопротивления собственно циклонных камер, предложенный в [8]. На основе сводной обработки данных по аэродинамическому сопротивлению собственно циклон-

Обозначения рис. 4	Тип циклона
1 — холодная модель	ЭНИН
2 — стенд, жидкое топливо	ЦКТИ
3 — стенд, уголь	ЭНИН
4 — холодная модель	ЦКТИ
5 — стенд, уголь	ЦКТИ
6 — холодная модель	КазНИИЭ
7 — " "	ЦКТИ
8 — стенд, уголь	МВТУ

ных камерах в виде зависимости их относительного сопротивления от отношения диаметра выходного отверстия к диаметру направляющего аппарата  $d/D$  ( $d = 2r_2$ ,  $D = 2r_0$ ) для  $d/D = 0,3—0,7$  предложена формула [8]

$$(15) \Delta P_+ = \Delta P_- / (\Delta P_-)_{0,45} = (0,9D/d - 1)$$

( $\Delta P_-$  — сопротивление собственно циклонной камеры, индекс 0,45 обозначает, что сопротивление взято для камеры с  $d/D = 0,45$ ).

Согласно (15), выражение для сопротивления собственно циклонной камеры имеет вид

$$\Delta P_- = (\zeta_2 \rho_2 u''^2 / 2)_{0,45} (0,9D/d - 1)$$

( $\zeta_2$  — коэффициент аэродинамического сопротивления).

Для всего диапазона изменения  $d/D$  физически более обоснованной представляется формула

$$(16) \Delta P_- / (\Delta P_-)_{0,45} = (d/D)^2 / (d/D)^2 = 0,2025 (D/d)^2,$$

полученная из закона сохранения момента импульса (без учета трения) в предположении, что в равенстве  $\Delta P_- = \zeta_2 \rho_2 u''^2 / 2$   $\zeta_2$  не зависит от  $d/D$ .

О соответствии формулы (16) (линия) экспериментальным данным [8] можно судить по рис. 4. Таким образом,

$$(17) \Delta P_- = 0,2025 (D/d)^2 (\zeta_2 \rho_2 u''^2 / 2)_{0,45}.$$

Предложенный [8] метод расчета сопротивления собственно циклонных камер рекомендуется в [9] для расчета сопротивлений вихревых горелок с аксиальным вводом топлива. Следовательно, формулы (16), (17) справедливы и для вихревых горелок с аксиальным вводом топлива. Обозначения, использованные на рис. 4, и соответствующие им типы циклонов указаны в таблице.

Полное гидравлическое сопротивление ВК с газожидкостным слоем определить расчетом не удается, если ВК имеет сложную поверхность торцевых стенок и не известны распределения содержания жидкости и тангенциальной скорости в газожидкостном слое. Это полностью относится к ВК центробежных теплообменных аппаратов (ЦТА) [5].

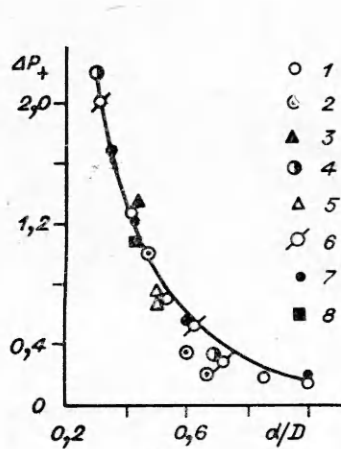


Рис. 4

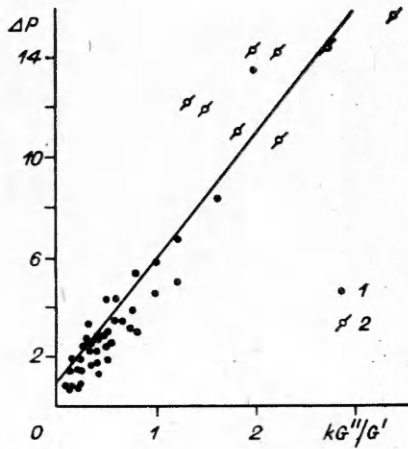


Рис. 5

Поскольку основной вклад в полное гидравлическое сопротивление ВК и в этом случае вносят первые две составляющие, экспериментально должна наблюдаться зависимость

$$(18) \quad \Delta P = 1 + \Delta P_1$$

$(\Delta P_1 = \Delta P'_1 / (\rho_1'' W'')$ ,  $\Delta P'_1$  — гидравлическое сопротивление газожидкостного слоя).

На рис. 5 в координатах безразмерного гидравлического сопротивления и комплекса  $kG'/G''$  представлены экспериментальные данные [5, с. 17] (точки 1 —  $r_0 = 0,055$  м,  $\eta = 1,45$ ,  $G'/G'' = 3,33; 6,25; 4,17; 2,08; 5,56; 8,33; 13,89$ ,  $s = 0,02; 0,04; 0,06; 0,08; 0,10$  и  $r_0 = 0,055$  м,  $\eta = 0,73$ ,  $s = 0,10$ ,  $G'/G'' = 3,33; 6,25; 4,17; 2,08; 5,56; 8,33; 13,89$ ; точки 2 —  $r_0 = 0,055$  м,  $\eta = 4,54$ ,  $s = 0,12$ ,  $G'/G'' = 2,38; 2,78; 3,33; 4,17; 3,57; 4,17; 5,00; 6,25$ ). Поскольку в указанные ВК ЦТА жидкость вводилась при больших величинах расхода жидкости  $G'$ , а ее вход осуществлялся тангенционально и с большой скоростью, то увеличение расхода жидкости приводило к росту скорости вращения газожидкостного слоя и соответствующей составляющей полного гидравлического сопротивления.

Наблюдающаяся линейная зависимость безразмерного гидравлического сопротивления от указанного комплекса приближенно описывается уравнением  $\Delta P = 1 + 5kG'/G''$ , имеющим вид (18). Это еще раз подтверждает справедливость изложенного здесь подхода, хотя последнее уравнение и противоречит зависимостям, предложенным в [5, с. 83].

#### ЛИТЕРАТУРА

1. Бурдуков А. П., Казаков В. И. Гидродинамика вращающегося барботажного слоя // Дисперсные системы в энергохимических процессах.— Новосибирск: ИТ СО АН СССР, 1982.
2. Бурдуков А. П., Дорохов А. Р., Казаков В. И. и др. Разработка вихревых барботажных аппаратов для абсорбционной очистки газов // Изв. СО АН СССР. Сер. техн. наук.— 1985.— Вып. 1, № 4.
3. Казаков В. И., Кармановский Д. Г. Влияние геометрических характеристик газо-распределительных устройств на гидродинамику вращающегося барботажного слоя // Процессы переноса в аппаратах энергохимических производств.— Новосибирск: ИТ СО АН СССР, 1985.
4. Бурдуков А. П., Гольдштник М. А., Казаков В. И., Ли Т. В. Тепло- и массоперенос в закрученном барботажном слое // Расчет тепломассообмена в энергохимических процессах.— Новосибирск: ИТ СО АН СССР, 1981.
5. Андреев Е. И. Расчет тепло- и массообмена в контактных аппаратах.— Л.: Энергоатомиздат, 1985.
6. Гольдштник М. А., Ли Т. В., Ханин В. М., Смирнов Н. П. О скорости вращения газожидкостного слоя в вихревой камере // Процессы переноса в энергохимических многофазных системах.— Новосибирск: ИТ СО АН СССР, 1983.
7. Lafferty J. F., Hammitt F. J. An experimental study of vortex two-phase flow // Trans. Amer. Nucl. Soc.— 1967.— V. 10, N 1.
8. Тагер С. А. Расчет аэродинамического сопротивления циклонных камер сгорания // Теплоэнергетика.— 1971.— № 7.
9. Гулта А., Лили Д., Сайред Н. Закрученные потоки.— М.: Мир, 1987.

г. Новосибирск

Поступила 14/VI 1988 г.,  
в окончательном варианте — 12/X 1990 г.

УДК 532.522.2.621.966.1.977

С. Л. Жбанкова, А. В. Колпаков

#### ОСОБЕННОСТИ РАЗВИТИЯ КАПИЛЛЯРНОЙ НЕУСТОЙЧИВОСТИ СТРУИ РАСТЯЖЕНИЯ

Экспериментально исследуется развитие и распад капиллярной струи жидкости, возникающей при осесимметричном растяжении, расположенного между двумя поверхностями объема жидкости. Струя растяжения образуется в процессе работы генератора монодисперсных капель (ГМК) типа «вибрирующая игла». Объем жидкости, участвующий в процессе растяжения, задается в диапазоне  $V_0 = (0,5—15,0) \cdot 10^{-11} \text{ м}^3$ .